

## 鉄ピコリルアミン錯体についての多参照電子状態計算

(京大院・理 \*,分子研\*\*) ○藤元栄介\*, 倉重佑輝\*\*, 柳井毅\*\*, 安藤耕司\*

### 【序】

近年、遷移金属を含む錯体に関して、異なるスピン状態間のエネルギー差に関する研究<sup>1)</sup>が活発に行われている。電子状態計算を用いてスピン状態間のエネルギー差を正確に見積もることは難しいとされている。

今回、我々は遷移金属錯体の一種であり、温度変化や光照射によってスピン状態が singlet から quintet に変わり得る、鉄ピコリルアミン錯体( 図 1 )について多参考電子状態計算を行った。

遷移金属錯体の電子状態には、d 軌道の擬縮退により多配置性が重要になる。また、それと同時に動的電子相関を取り入れなければならないとされている。

そこで、近年開発された密度行列繰り込み群法を用いた DMRG-CASSCF 計算<sup>2)</sup>に注目した。DMRG-CASSCF 計算では、非常に大きな active space を取って計算することができる。

異なるスピン状態間 (singlet と quintet) のエネルギーギャップについて、CASPT2 計算と DMRG-CASSCF 計算といった多参考の理論などで比較を行う。

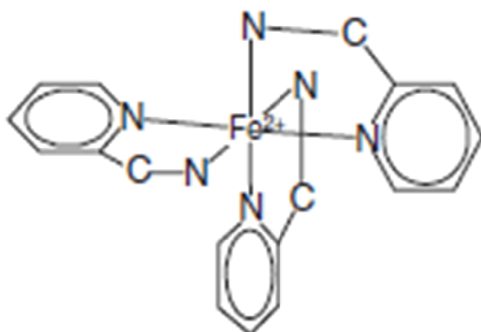


図 1. 鉄ピコリルアミン錯体の構造

### 【方法】

電子状態計算は、singlet と quintet それぞれ X 線回折実験から得られた構造について計算を行った。基底関数は、鉄については有効内殻ポテンシャルである Stuttgart を、配位子には 6-31G\* 基底関数を用いた。なお、プログラムは Molpro を用いた。

CASPT2 計算においての active space には、鉄原子の 3d 軌道だけでなく、3d 軌道を取り囲むようにして存在する 4d 軌道( 図 2 )や、鉄原子と配位子の窒素原子が  $\sigma$  結合した軌道( 図 3 )も含める。結局、active space には 5 個の 3d 軌道と、5

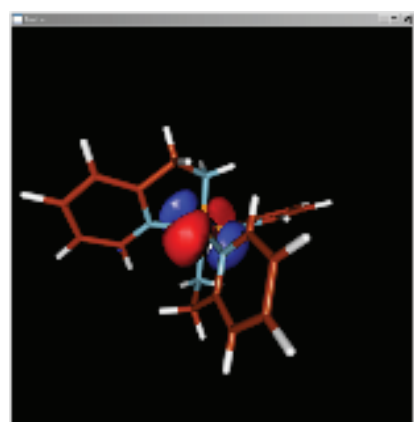


図 2. 鉄原子の 4d 軌道

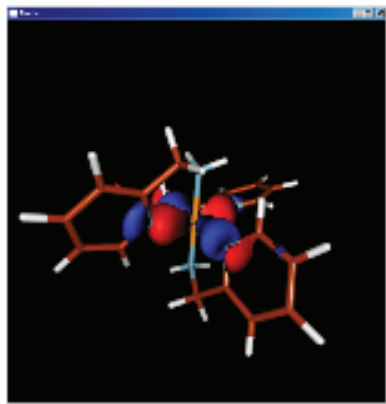


図3. 鉄と配位子間の $\sigma$ 軌道

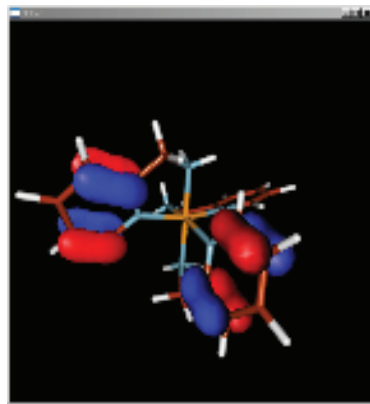


図4. 配位子の $\pi$ 軌道

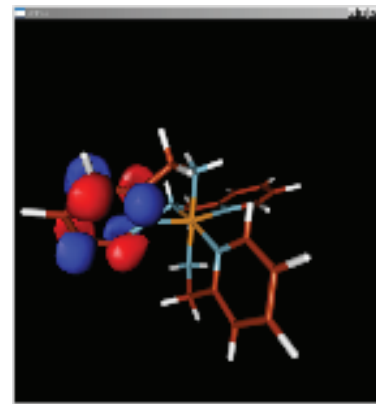


図5. 配位子の $\pi^*$ 軌道

個の4d軌道と、2個の $\sigma$ 軌道の合わせて12軌道を取る。

また、DMRG-CASSCF計算では、この12軌道に加えて、配位子の $\pi$ 軌道(図4)と $\pi^*$ 軌道(図5)をそれぞれ6軌道ずつactive spaceに入れ、計24軌道を取って計算する。

### 【結果および考察】

表1にactive spaceの数を変えてsingletとquintetのエネルギーギャップである $\Delta E_{HL}$ (singletから見たquintetのエネルギー)を計算した結果を載せる。本来、singletの方がquintetよりわずかに安定であるが(鉄ピコリルアミン錯体の結晶は、室温付近でsinglet相からquintet相へと相転移を起こすため。)、このCASPT2の結果ではそうはない。

だが、active spaceを広く取ることでエネルギー差は大幅に改善されている。また、動的電子相関を取り入れることでも改善が見られることがわかった。

このことから、膨大な配置数を考慮に入れることができるDMRG-CASSCFや、それに動的電子相関を取り入れることで、異なるスピン状態間のエネルギー差をうまく説明できることが期待される。

当日は、DMRGや他の結果についても詳しく言及する。

	$\Delta E_{HL}(\text{cm}^{-1})$
CASSCF(6,5)	-21600
CASSCF(10,12)	-12444
CASPT2(10,12)	-6785

表1. 計算結果

### 【参考文献】

- 1) K.Pierloot,S.Vancoillie et al;J.Chem.Phys.**125**,124303(2006)
- 2) Y.Kurashige and T.Yanai ,J.Chem.Phys **130**, 234114 (2009)